

Evolution adiabatique de systèmes résonnants à
l'aide de conditions d'interface
(avec A. Mantile et F. Nier)

Ali FARAJ

Université de Rennes I

7e JEAN - 08 avril 2010

1 Introduction

- Cadre et objectifs
- Approximation adiabatique
- Evolution adiabatique des résonances
- Dilatation analytique extérieure

2 Théorème adiabatique : conditions d'interface

- Modèle et résonances de forme
- Perturbation H_{θ_0} : comparaison spectrale
- Evolution en temps
- Evolution adiabatique des résonances

3 Application à l'évolution d'un système résonnant

1 Introduction

- Cadre et objectifs
- Approximation adiabatique
- Evolution adiabatique des résonances
- Dilatation analytique extérieure

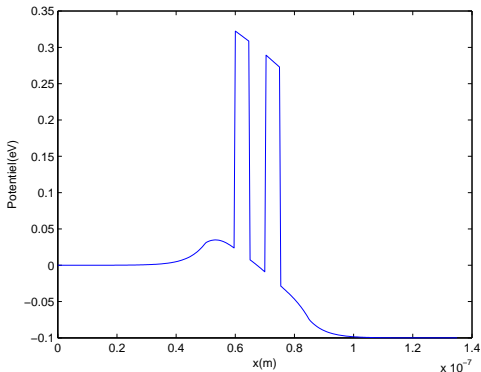
2 Théorème adiabatique : conditions d'interface

- Modèle et résonances de forme
- Perturbation H_{θ_0} : comparaison spectrale
- Evolution en temps
- Evolution adiabatique des résonances

3 Application à l'évolution d'un système résonnant

Système résonnant

- Système 1D ouvert de la forme puits quantiques dans une île
- Présence de résonances
- Diode à effet tunnel résonnant



Asymptotique transitoire

- Analyse $\hbar \rightarrow 0$ Schrödinger-Poisson régime stationnaire
[Bonnaillie-Noël, Nier, Patel, '08]

Asymptotique transitoire

- Analyse $h \rightarrow 0$ Schrödinger-Poisson régime stationnaire
[Bonnaillie-Noël, Nier, Patel, '08]
- modèle non linéaire simple, phénomènes d'hystérésis
[Bonnaillie-Noël, AF, Nier, '09]

Asymptotique transitoire

- Analyse $h \rightarrow 0$ Schrödinger-Poisson régime stationnaire
[Bonnaillie-Noël, Nier, Patel, '08]
- modèle non linéaire simple, phénomènes d'hystérésis
[Bonnaillie-Noël, AF, Nier, '09]
- Objectifs : évolution en temps
 - Description analytique simple
 - + coût de calcul réduit
 - = stabilité des solutions stationnaires, solutions périodiques

1 Introduction

- Cadre et objectifs
- **Approximation adiabatique**
- Evolution adiabatique des résonances
- Dilatation analytique extérieure

2 Théorème adiabatique : conditions d'interface

- Modèle et résonances de forme
- Perturbation H_{θ_0} : comparaison spectrale
- Evolution en temps
- Evolution adiabatique des résonances

3 Application à l'évolution d'un système résonnant

Théorème adiabatique en mécanique quantique

- Hamiltonien dépendant du temps

$$\mathcal{H}(t) = -\Delta + V(t, x)$$

- Soit $E(t)$ v.p. isolée de $\mathcal{H}(t)$
- Evolution du sous-espace spectral associé à $E(0)$ par la dynamique générée par $\mathcal{H}(t)$?

Théorème adiabatique en mécanique quantique

- Si $\mathcal{H}(t) = \mathcal{H}_0$, alors $E(t) = E_0$ et la solution de

$$\begin{cases} i\partial_t u(t) = \mathcal{H}_0 u(t), & t \geq 0 \\ u(0) = u_I \end{cases} \quad \text{où} \quad \mathcal{H}_0 u_I = E_0 u_I$$

est donnée par

$$u(t) = e^{-iE_0 t} u_I$$

Théorème adiabatique en mécanique quantique

- Si $\mathcal{H}(t) = \mathcal{H}_0$, alors $E(t) = E_0$ et la solution de

$$\begin{cases} i\partial_t u(t) = \mathcal{H}_0 u(t), & t \geq 0 \\ u(0) = u_I \end{cases} \quad \text{où} \quad \mathcal{H}_0 u_I = E_0 u_I$$

est donnée par

$$u(t) = e^{-iE_0 t} u_I$$

→ Reste dans l'espace associé à E_0

Théorème adiabatique en mécanique quantique

- Si $\mathcal{H}(t) = \mathcal{H}_0$, alors $E(t) = E_0$ et la solution de

$$\begin{cases} i\partial_t u(t) = \mathcal{H}_0 u(t), & t \geq 0 \\ u(0) = u_I \end{cases} \quad \text{où} \quad \mathcal{H}_0 u_I = E_0 u_I$$

est donnée par

$$u(t) = e^{-iE_0 t} u_I$$

→ Reste dans l'espace associé à E_0

- Toujours vrai si $\mathcal{H} = \mathcal{H}(\varepsilon t)$, $\varepsilon \ll 1$?

$\varepsilon =$ paramètre adiabatique

Théorème adiabatique en mécanique quantique

- On s'intéresse à :

$$\begin{cases} i\partial_t u(t) = \mathcal{H}(\varepsilon t)u(t), & t \geq 0 \\ u(0) = u_I \end{cases} \quad \text{où} \quad \mathcal{H}(0)u_I = E(0)u_I$$

Théorème adiabatique en mécanique quantique

- On s'intéresse à :

$$\begin{cases} i\partial_t u(t) = \mathcal{H}(\varepsilon t)u(t), & t \geq 0 \\ u(0) = u_I \end{cases} \quad \text{où} \quad \mathcal{H}(0)u_I = E(0)u_I$$

- Changement de variables $t' = \varepsilon t$

Théorème adiabatique en mécanique quantique

- On s'intéresse à :

$$\begin{cases} i\partial_t u(t) = \mathcal{H}(\varepsilon t)u(t), & t \geq 0 \\ u(0) = u_I \end{cases} \quad \text{où} \quad \mathcal{H}(0)u_I = E(0)u_I$$

- Changement de variables $t' = \varepsilon t$

→ Evolution adiabatique :

$$\begin{cases} i\varepsilon\partial_t u(t) = \mathcal{H}(t)u(t), & t \geq 0 \\ u(0) = u_I \end{cases} \quad \text{où} \quad \mathcal{H}(0)u_I = E(0)u_I$$

Théorème adiabatique

- Gap condition :

$$d(E(t), \sigma(\mathcal{H}(t)) \setminus E(t)) \geq c$$

- Projection spectrale $P(t)$ reliée à $E(t)$

Théorème adiabatique

- Gap condition :

$$d(E(t), \sigma(\mathcal{H}(t)) \setminus E(t)) \geq c$$

- Projection spectrale $P(t)$ reliée à $E(t)$

Théorème Adiabatique, noté (TA)

Soit une donnée initiale $u_I \in L^2(\mathbb{R})$ telle que $P(0)u_I = u_I$.

Alors, il existe une fonction $v(t)$ t.q. $P(t)v(t) = v(t)$ et t.q. pour tout $T > 0$ la solution $u(t)$ du problème de Cauchy

$$\begin{cases} i\varepsilon \partial_t u(t) = \mathcal{H}(t)u(t), & t \geq 0 \\ u(0) = u_I \end{cases}$$

satisfait

$$\max_{t \in [0, T]} \|u(t) - v(t)\|_{L^2} \leq C_T \varepsilon \|u_I\|$$

[Born, Fock, '28], [Kato, '50] et [Joye, '94], [Teufel, '01], [Nenciu, '93]

1 Introduction

- Cadre et objectifs
- Approximation adiabatique
- **Evolution adiabatique des résonances**
- Dilatation analytique extérieure

2 Théorème adiabatique : conditions d'interface

- Modèle et résonances de forme
- Perturbation H_{θ_0} : comparaison spectrale
- Evolution en temps
- Evolution adiabatique des résonances

3 Application à l'évolution d'un système résonnant

Résonances : cadre non linéaire

- Résonance de $\mathcal{H} = -\hbar^2\Delta + V$ comme quasi-valeur propre :

Déf : complexe z t.q. $\exists \Psi$ dans un L^2 déformé vérifiant

$$\mathcal{H}\Psi = z\Psi$$

- Non linéaire : évolution du potentiel dictée par la charge

$$V = V(\varepsilon t) \quad \text{où} \quad \varepsilon = -\text{Im } z$$

- On a $\varepsilon = e^{-\frac{\varepsilon}{\hbar}}$ \rightarrow Approximation adiabatique
- Remarque $\varepsilon \ll \hbar$

Evolution adiabatique des modes résonnants

- Première approche : états spectralement localisés sur le réel et à proximité de la résonance z

[Skibsted, '89]

[Perelman, '00]

Evolution adiabatique des modes résonnants

- Première approche : états spectralement localisés sur le réel et à proximité de la résonance z

[Skibsted, '89]

[Perelman, '00]

- Seconde approche : évolution des fonctions propres de $U_\theta H U_\theta^{-1}$

Opérateur non auto-adjoint

→ Limitation en temps due à l'amplification $e^{\frac{Ct}{\varepsilon}}$ [Joye, '07]

1 Introduction

- Cadre et objectifs
- Approximation adiabatique
- Evolution adiabatique des résonances
- Dilatation analytique extérieure

2 Théorème adiabatique : conditions d'interface

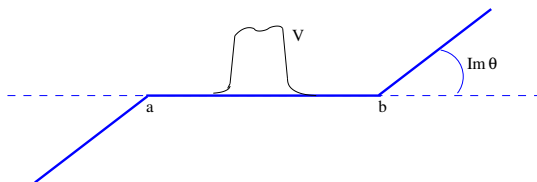
- Modèle et résonances de forme
- Perturbation H_{θ_0} : comparaison spectrale
- Evolution en temps
- Evolution adiabatique des résonances

3 Application à l'évolution d'un système résonnant

Dilatation analytique extérieure singulière

- Non linéaire : potentiel non régulier
- Dilatation analytique extérieure

$$U_\theta \Psi(x) = \begin{cases} e^{\frac{\theta}{2}} \Psi(e^\theta(x-a) + a), & x < a \\ \Psi(x), & x \in (a, b) \\ e^{\frac{\theta}{2}} \Psi(e^\theta(x-b) + b), & x > b, \end{cases}$$



"Black box" formalisme [Sjöstrand, Zworski, '91]

Dilatation analytique extérieure singulière

- Conditions de saut en a et en b [Simon, '79]
- Potentiel V régulier et $\theta \in \mathbb{R}$:

$$H = -h^2 \Delta + V \quad \text{et} \quad H(\theta) = U_\theta H U_\theta^{-1}$$

alors

$$H(\theta) = -h^2 e^{-2\theta I_{\mathbb{R} \setminus (a,b)}} \Delta + V$$

$$D(H(\theta)) = \left\{ u \in H^2(\mathbb{R} \setminus \{a, b\}); \begin{array}{l} e^{-\frac{\theta}{2}} u(a^-) = u(a^+) \\ e^{-\frac{3}{2}\theta} u'(a^-) = u'(a^+) \\ e^{-\frac{\theta}{2}} u(b^+) = u(b^-) \\ e^{-\frac{3}{2}\theta} u'(b^+) = u'(b^-) \end{array} \right\}$$

Dilatation analytique extérieure singulière

- Conditions de saut en a et en b [Simon, '79]
- Potentiel V régulier et $\theta \in \mathbb{R}$:

$$H = -h^2 \Delta + V \quad \text{et} \quad H(\theta) = U_\theta H U_\theta^{-1}$$

alors

$$H(\theta) = -h^2 e^{-2\theta I_{\mathbb{R} \setminus (a,b)}} \Delta + V$$

$$D(H(\theta)) = \left\{ u \in H^2(\mathbb{R} \setminus \{a, b\}); \begin{array}{l} e^{-\frac{\theta}{2}} u(a^-) = u(a^+) \\ e^{-\frac{3}{2}\theta} u'(a^-) = u'(a^+) \\ e^{-\frac{\theta}{2}} u(b^+) = u(b^-) \\ e^{-\frac{3}{2}\theta} u'(b^+) = u'(b^-) \end{array} \right\}$$

- Théorème adiabatique pour les valeurs propres de $H(\theta)$?

Dilatation analytique extérieure singulière

- Conditions de saut en a et en b [Simon, '79]
- Potentiel V régulier et $\theta \in \mathbb{R}$:

$$H = -h^2 \Delta + V \quad \text{et} \quad H(\theta) = U_\theta H U_\theta^{-1}$$

alors

$$D(H(\theta)) = \left\{ u \in H^2(\mathbb{R} \setminus \{a, b\}); \begin{array}{l} e^{-\frac{\theta}{2}} u(a^-) = u(a^+) \\ e^{-\frac{3}{2}\theta} u'(a^-) = u'(a^+) \\ e^{-\frac{\theta}{2}} u(b^+) = u(b^-) \\ e^{-\frac{3}{2}\theta} u'(b^+) = u'(b^-) \end{array} \right\}$$

- Théorème adiabatique pour les valeurs propres de $H(\theta)$?

$$\begin{aligned} \operatorname{Re} \langle iH(\theta)u, u \rangle_{L^2(\mathbb{R})} &= \operatorname{Re} \left[ih^2 (u' \bar{u}) \Big|_{a^-}^{b^+} (e^{-2\theta} - e^{-\frac{\theta+3\theta}{2}}) \right] \\ &\quad + h^2 e^{-2\operatorname{Re} \theta} \sin(2\operatorname{Im} \theta) \int_{\mathbb{R} \setminus [a, b]} |u'|^2 dx. \end{aligned}$$

Conditions d'interface artificielles

- Défaut d'accrétivité concentré en a et b
- ⇒ perturbation H_{θ_0} de H t.q. :
- Le Hamiltonien dilaté est accréatif (contraction)
 - Petit effet de la perturbation
-
- Théorème adiabatique sans limitation en temps

1 Introduction

- Cadre et objectifs
- Approximation adiabatique
- Evolution adiabatique des résonances
- Dilatation analytique extérieure

2 Théorème adiabatique : conditions d'interface

- Modèle et résonances de forme
- Perturbation H_{θ_0} : comparaison spectrale
- Evolution en temps
- Evolution adiabatique des résonances

3 Application à l'évolution d'un système résonnant

- [http ://perso.univ-rennes1.fr/ali.faraj](http://perso.univ-rennes1.fr/ali.faraj)
- HAL : hal-00448868, version 3

1 Introduction

- Cadre et objectifs
- Approximation adiabatique
- Evolution adiabatique des résonances
- Dilatation analytique extérieure

2 Théorème adiabatique : conditions d'interface

- **Modèle et résonances de forme**
- Perturbation H_{θ_0} : comparaison spectrale
- Evolution en temps
- Evolution adiabatique des résonances

3 Application à l'évolution d'un système résonnant

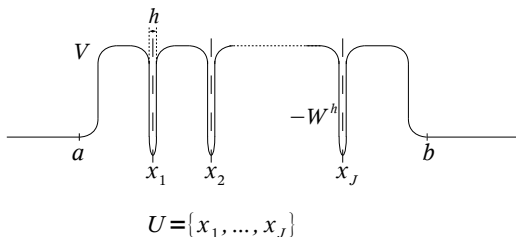
Le modèle

- Hamiltonien de référence sur $L^2(\mathbb{R})$

$$H = -h^2 \partial_x^2 + V - W^h$$

où $W^h = W_1^h + W_2^h$ et

- V île, support (a, b)
 $V \in L^\infty$, $V \geq C > 0$
- W^h puits, support $U^h \rightarrow U$
 $W_1^h \in L^\infty$
 $W_2^h \in \mathcal{M}_b$ (fonctions δ)



Hamiltonien avec conditions d'interface

- Hamiltonien perturbé H_{θ_0} où $\theta_0 \in \mathbb{C}$: opérateur non auto-adjoint défini par

$$H_{\theta_0} u = -h^2 \partial_x^2 + V - W^h$$

$$D(H_{\theta_0}) = \{u \in H^1(\mathbb{R} \setminus \{a, b\}); (-h^2 \partial_x^2 + V - W^h)u \in L^2(\mathbb{R}) + BC\}$$

où

$$BC = \begin{cases} e^{-\frac{\theta_0}{2}} u(a^-) = u(a^+) \\ e^{-\frac{3}{2}\theta_0} u'(a^-) = u'(a^+) \\ e^{-\frac{\theta_0}{2}} u(b^+) = u(b^-) \\ e^{-\frac{3}{2}\theta_0} u'(b^+) = u'(b^-) \end{cases}$$

Hamiltonien avec conditions d'interface

- Hamiltonien perturbé H_{θ_0} où $\theta_0 \in \mathbb{C}$: opérateur non auto-adjoint défini par

$$H_{\theta_0} u = -h^2 \partial_x^2 + V - W^h$$

$$D(H_{\theta_0}) = \{u \in H^1(\mathbb{R} \setminus \{a, b\}); (-h^2 \partial_x^2 + V - W^h)u \in L^2(\mathbb{R}) + BC\}$$

où

$$BC = \begin{cases} e^{-\frac{\theta_0}{2}} u(a^-) = u(a^+) \\ e^{-\frac{3}{2}\theta_0} u'(a^-) = u'(a^+) \\ e^{-\frac{\theta_0}{2}} u(b^+) = u(b^-) \\ e^{-\frac{3}{2}\theta_0} u'(b^+) = u'(b^-) \end{cases}$$

- $H_{\theta_0=0} = H$ et $\theta_0 = o(h)$

Hamiltonien avec conditions d'interface

- Hamiltonien perturbé H_{θ_0} où $\theta_0 \in \mathbb{C}$: opérateur non auto-adjoint défini par

$$H_{\theta_0} u = -h^2 \partial_x^2 + V - W^h$$

$$D(H_{\theta_0}) = \{u \in H^1(\mathbb{R} \setminus \{a, b\}); (-h^2 \partial_x^2 + V - W^h)u \in L^2(\mathbb{R}) + BC\}$$

où

$$BC = \begin{cases} e^{-\frac{\theta_0}{2}} u(a^-) = u(a^+) \\ e^{-\frac{3}{2}\theta_0} u'(a^-) = u'(a^+) \\ e^{-\frac{\theta_0}{2}} u(b^+) = u(b^-) \\ e^{-\frac{3}{2}\theta_0} u'(b^+) = u'(b^-) \end{cases}$$

- $H_{\theta_0=0} = H$ et $\theta_0 = o(h)$
- $\sigma_{\text{ess}}(H_{\theta_0}) = \sigma_{\text{ess}}(H) = \mathbb{R}_+$

Dilatation analytique extérieure

- Transformation

$$U_{\theta}\psi(x) = \begin{cases} e^{\frac{\theta}{2}}\psi(e^{\theta}(x-a)+a), & x < a \\ \psi(x), & x \in (a, b) \\ e^{\frac{\theta}{2}}\psi(e^{\theta}(x-b)+b), & x > b \end{cases}$$

Dilatation analytique extérieure

- Transformation

$$U_{\theta}\psi(x) = \begin{cases} e^{\frac{\theta}{2}}\psi(e^{\theta}(x-a)+a), & x < a \\ \psi(x), & x \in (a, b) \\ e^{\frac{\theta}{2}}\psi(e^{\theta}(x-b)+b), & x > b \end{cases}$$

- Opérateur non auto-adjoint $H_{\theta_0}(\theta) = U_{\theta}H_{\theta_0}U_{\theta}^{-1}$. Alors

$$H_{\theta_0}(\theta)u = -h^2\eta\partial_x^2 + V - W^h, \quad \text{où} \quad \eta(x) = \begin{cases} e^{-2\theta}, & x \in \mathbb{R} \setminus (a, b) \\ 1, & x \in (a, b) \end{cases}$$

Dilatation analytique extérieure

- Transformation

$$U_{\theta}\psi(x) = \begin{cases} e^{\frac{\theta}{2}}\psi(e^{\theta}(x-a)+a), & x < a \\ \psi(x), & x \in (a, b) \\ e^{\frac{\theta}{2}}\psi(e^{\theta}(x-b)+b), & x > b \end{cases}$$

- Opérateur non auto-adjoint $H_{\theta_0}(\theta) = U_{\theta}H_{\theta_0}U_{\theta}^{-1}$. Alors

$$H_{\theta_0}(\theta)u = -h^2\eta\partial_x^2 + V - W^h, \quad \text{où} \quad \eta(x) = \begin{cases} e^{-2\theta}, & x \in \mathbb{R} \setminus (a, b) \\ 1, & x \in (a, b) \end{cases}$$

et

$$D(H_{\theta_0}(\theta)) = \{u \in H^1(\mathbb{R} \setminus \{a, b\}); (-h^2\partial_x^2 + V - W^h)u \in L^2(\mathbb{R}) + BC\}$$

avec

$$BC = \begin{cases} e^{-\frac{\theta_0+\theta}{2}}u(a^-) = u(a^+) \\ e^{-\frac{3}{2}(\theta_0+\theta)}u'(a^-) = u'(a^+) \\ e^{-\frac{\theta_0+\theta}{2}}u(b^+) = u(b^-) \\ e^{-\frac{3}{2}(\theta_0+\theta)}u'(b^+) = u'(b^-) \end{cases}$$

Résonances

- Ensemble dense de fonctions

$$\mathcal{A} = \left\{ u \mid u(x) = p(x)e^{-\gamma x^2}, p \text{ est un polynôme et } \gamma > 0 \right\}$$

Proposition

- $\sigma_{\text{ess}}(H_{\theta_0}(\theta)) = e^{-2\theta}\mathbb{R}_+$
- Pour $u, v \in \mathcal{A}$, l'application :

$$F : z \rightarrow \langle (H_{\theta_0} - z)^{-1} u, v \rangle$$

a un prolongement méromorphe dans le secteur $\{\arg z \in (-\frac{\pi}{2}, 0)\}$.

- Les pôles de $F(z)$ dans le cône

$$\{\arg z \in (-2\text{Im}\theta, 0)\}, \quad \text{Im}\theta < \frac{\pi}{4}$$

sont des valeurs propres de $H_{\theta_0}(\theta)$.

- Résonances de $H_{\theta_0} :=$ pôles ci-dessus [Aguilar, Combes, '71]

Outils de la preuve

- Formule de Krein pour la résolvante [Pankrashkin, '06]

$$(H_{\theta_0}(\theta) - z)^{-1} = (H_{ND}(\theta) - z)^{-1} + \sum_{i,j=1}^4 C_{i,j}(z, \theta) \langle \cdot, \gamma_j(\bar{z}, \bar{\theta}) \rangle_{L^2} \gamma_i(z, \theta)$$

Outils de la preuve

- Formule de Krein pour la résolvante [Pankrashkin, '06]

$$(H_{\theta_0}(\theta) - z)^{-1} = (H_{ND}(\theta) - z)^{-1} + \sum_{i,j=1}^4 C_{i,j}(z, \theta) \langle \cdot, \gamma_j(\bar{z}, \bar{\theta}) \rangle_{L^2} \gamma_i(z, \theta)$$

Neumann Dirichlet

$$H_{ND}(\theta) = -h^2 e^{-2\theta} \Delta_{\mathbb{R} \setminus (a,b)}^N \oplus \left[-h^2 \Delta_{(a,b)}^D + V - W^h \right]$$

Outils de la preuve

- Formule de Krein pour la résolvante [Pankrashkin, '06]

$$(H_{\theta_0}(\theta) - z)^{-1} = (H_{ND}(\theta) - z)^{-1} + \sum_{i,j=1}^4 C_{i,j}(z, \theta) \langle \cdot, \gamma_j(\bar{z}, \bar{\theta}) \rangle_{L^2} \gamma_i(z, \theta)$$

Neumann Dirichlet

$$H_{ND}(\theta) = -h^2 e^{-2\theta} \Delta_{\mathbb{R} \setminus (a,b)}^N \oplus \left[-h^2 \Delta_{(a,b)}^D + V - W^h \right]$$

Rang fini

$$\left[-h^2 e^{-2\theta} \Delta_{\mathbb{R} \setminus (a,b)} + V - W^h - z \right] \gamma_j(z, \theta) = 0, \quad \text{sur } \mathbb{R} \setminus (a, b)$$

Outils de la preuve

- Formule de Krein pour la résolvante [Pankrashkin, '06]

$$(H_{\theta_0}(\theta) - z)^{-1} = (H_{ND}(\theta) - z)^{-1} + \sum_{i,j=1}^4 C_{i,j}(z, \theta) \langle \cdot, \gamma_j(\bar{z}, \bar{\theta}) \rangle_{L^2} \gamma_i(z, \theta)$$

Neumann Dirichlet

$$H_{ND}(\theta) = -h^2 e^{-2\theta} \Delta_{\mathbb{R} \setminus (a,b)}^N \oplus \left[-h^2 \Delta_{(a,b)}^D + V - W^h \right]$$

Rang fini

$$\left[-h^2 e^{-2\theta} \Delta_{\mathbb{R} \setminus (a,b)} + V - W^h - z \right] \gamma_j(z, \theta) = 0, \quad \text{sur } \mathbb{R} \setminus (a, b)$$

Et $C_{i,j}(z, \theta)$ lien extérieur-intérieur

Choix de la perturbation

- Evolution modes résonnants = évolution v.p. de $H_{\theta_0}(\theta)$

Choix de la perturbation

- Evolution modes résonnants = évolution v.p. de $H_{\theta_0}(\theta)$
- $iH_{\theta_0}(\theta)$ non accréatif en général

$$\begin{aligned} \operatorname{Re} \langle iH_{\theta_0}(\theta)u, u \rangle &= -h^2 \operatorname{Im} (e^{-2\theta}) \int_{\mathbb{R} \setminus (a,b)} |u'|^2 dx \\ &+ h^2 \operatorname{Im} \left[\left(1 - e^{-2\theta} e^{\frac{3}{2}(\theta+\theta_0)} e^{\frac{1}{2}(\bar{\theta}+\bar{\theta}_0)} \right) (u'(b^-)\bar{u}(b^-) - u'(a^+)\bar{u}(a^+)) \right] \end{aligned}$$

Choix de la perturbation

- Evolution modes résonnants = évolution v.p. de $H_{\theta_0}(\theta)$
- $iH_{\theta_0}(\theta)$ non accréatif en général

$$\begin{aligned} \operatorname{Re} \langle iH_{\theta_0}(\theta)u, u \rangle &= -h^2 \operatorname{Im} (e^{-2\theta}) \int_{\mathbb{R} \setminus (a,b)} |u'|^2 dx \\ &+ h^2 \operatorname{Im} \left[\left(1 - e^{-2\theta} e^{\frac{3}{2}(\theta+\theta_0)} e^{\frac{1}{2}(\bar{\theta}+\bar{\theta}_0)} \right) (u'(b^-)\bar{u}(b^-) - u'(a^+)\bar{u}(a^+)) \right] \end{aligned}$$

- Pour $\theta = \theta_0 = i\tau$ où $\tau \in (0, \frac{\pi}{4})$

$$\operatorname{Re} \langle iH_{i\tau}(i\tau)u, u \rangle = h^2 \sin(2\tau) \int_{\mathbb{R} \setminus (a,b)} |u'|^2 dx \geq 0$$

→ semi-groupe de contraction [Reed-Simon]

Choix de la perturbation

- Evolution modes résonnants = évolution v.p. de $H_{\theta_0}(\theta)$
- $iH_{\theta_0}(\theta)$ non accréatif en général

$$\begin{aligned} \operatorname{Re} \langle iH_{\theta_0}(\theta)u, u \rangle &= -h^2 \operatorname{Im} \left(e^{-2\theta} \right) \int_{\mathbb{R} \setminus (a,b)} |u'|^2 dx \\ &+ h^2 \operatorname{Im} \left[\left(1 - e^{-2\theta} e^{\frac{3}{2}(\theta+\theta_0)} e^{\frac{1}{2}(\bar{\theta}+\bar{\theta}_0)} \right) (u'(b^-)\bar{u}(b^-) - u'(a^+)\bar{u}(a^+)) \right] \end{aligned}$$

- Pour $\theta = \theta_0 = i\tau$ où $\tau \in (0, \frac{\pi}{4})$

$$\operatorname{Re} \langle iH_{i\tau}(i\tau)u, u \rangle = h^2 \sin(2\tau) \int_{\mathbb{R} \setminus (a,b)} |u'|^2 dx \geq 0$$

→ semi-groupe de contraction [Reed-Simon]

- On prendra $\theta_0 = ih^{N_0}$: double utilité

1 Introduction

- Cadre et objectifs
- Approximation adiabatique
- Evolution adiabatique des résonances
- Dilatation analytique extérieure

2 Théorème adiabatique : conditions d'interface

- Modèle et résonances de forme
- Perturbation H_{θ_0} : comparaison spectrale
- Evolution en temps
- Evolution adiabatique des résonances

3 Application à l'évolution d'un système résonnant

Situation

- $\|W_1^h\|_{L^\infty} \leq C$ et $\|W_2^h\|_{\mathcal{M}_b} \leq Ch$

Situation

- $\|W_1^h\|_{L^\infty} \leq C$ et $\|W_2^h\|_{\mathcal{M}_b} \leq Ch$
- Valeurs propres $\lambda_1^h, \dots, \lambda_\ell^h$ du Hamiltonien de Dirichlet H_D

Situation

- $\|W_1^h\|_{L^\infty} \leq C$ et $\|W_2^h\|_{\mathcal{M}_b} \leq Ch$
- Valeurs propres $\lambda_1^h, \dots, \lambda_\ell^h$ du Hamiltonien de Dirichlet H_D
- Constante $\lambda_0 > 0$ telle que
 - $V - \lambda_0 \geq c$
 - $\max_{1 \leq j \leq \ell} |\lambda_j^h - \lambda_0| \leq Ch$
 - $d(\lambda_0, \sigma(H_D) \setminus \{\lambda_1^h, \dots, \lambda_\ell^h\}) \geq c$

Localisation des résonances

Proposition

Pour tout $|\theta_0| \leq ch$, H_{θ_0} a exactement ℓ résonances $\{z_1^h(\theta_0), \dots, z_\ell^h(\theta_0)\}$ à proximité des v.p. de Dirichlet avec l'estimation

$$z_j^h(\theta_0) - \lambda_j^h = \mathcal{O}\left(\frac{e^{-\frac{2S_0}{h}}}{h^3}\right)$$

où $S_0 = d_{Ag}(\{a, b\}, U, V, \lambda_0)$.

Localisation des résonances

Proposition

Pour tout $|\theta_0| \leq ch$, H_{θ_0} a exactement ℓ résonances $\{z_1^h(\theta_0), \dots, z_\ell^h(\theta_0)\}$ à proximité des v.p. de Dirichlet avec l'estimation

$$z_j^h(\theta_0) - \lambda_j^h = \mathcal{O}\left(\frac{e^{-\frac{2S_0}{h}}}{h^3}\right)$$

où $S_0 = d_{Ag}(\{a, b\}, U, V, \lambda_0)$.

- Départ : [Helffer, Sjöstrand, '85] potentiel régulier et $\theta_0 = 0$

Décroissance exponentielle

- Région classiquement interdite pour $\mathcal{H} = -\hbar^2 \Delta + V(x)$:

Energie $\lambda \rightarrow$ région $\mathcal{E}(\lambda) = \{x \text{ tq } V(x) - \lambda > 0\}$

Décroissance exponentielle

- Région classiquement interdite pour $\mathcal{H} = -\hbar^2 \Delta + V(x)$:

$$\text{Energie } \lambda \quad \rightarrow \quad \text{région } \mathcal{E}(\lambda) = \{x \text{ tq } V(x) - \lambda > 0\}$$

- Du point de vu quantique :

Les états u localisés (spectralet.) autour de λ décroissent exponentiell. sur $\mathcal{E}(\lambda)$

$$\|ue^{\frac{\varphi\lambda}{\hbar}}\| \leq C$$

Décroissance exponentielle

- Région classiquement interdite pour $\mathcal{H} = -\hbar^2 \Delta + V(x)$:

$$\text{Energie } \lambda \rightarrow \text{région } \mathcal{E}(\lambda) = \{x \text{ tq } V(x) - \lambda > 0\}$$

- Du point de vue quantique :

Les états u localisés (spectralement) autour de λ décroissent exponentiellement sur $\mathcal{E}(\lambda)$

$$\|ue^{\frac{\varphi_\lambda}{\hbar}}\| \leq C$$

- Poids : distance de Agmon

$$\varphi_\lambda(x) = \int_{x_0}^x \sqrt{(V(s) - \lambda)_+} ds$$

$$\text{où } x_+ = \begin{cases} x, & x > 0 \\ 0, & \text{sinon} \end{cases}$$

Comparaison : heuristique

- Energie asymptotique λ_0 : le bord est une région classiquement interdite pour H_{θ_0}
- Etats localisés spectralt. autour de λ_0 = proches de vérifier les conditions aux limites de Dirichlet en a et b
- Comparaison

$$z_j^h(\theta_0) - \lambda_j^h = \mathcal{O}\left(\frac{e^{-\frac{2S_0}{h}}}{h^3}\right)$$

où $S_0 = d_{Ag}(\{a, b\}, U, V, \lambda_0)$.

Localisation par rapport aux résonances de référence

- $H_{\theta_0=0} = H \Rightarrow z_j^h := z_j^h(0)$ résonances de H
- Comparaison $z_j^h(\theta_0)$ et z_j^h sous l'hypothèse :

$$\forall j \neq j', \quad \lim_{h \rightarrow 0} |\lambda_j^h - \lambda_{j'}^h| \left(\frac{e^{-\frac{2s_0}{h}}}{h^3} \right)^{-1} = +\infty \quad (H)$$

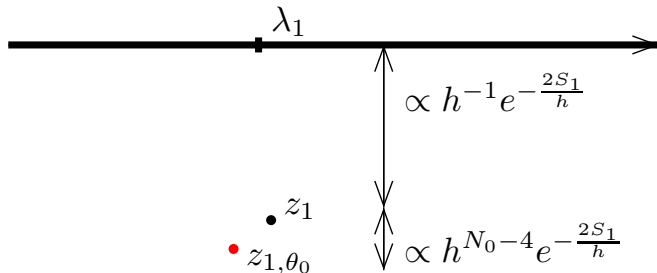
Proposition

Supposons (H). Alors, pour tout $|\theta_0| \leq c_0 h$ tel que $e^{-\frac{s_0}{4h}} \leq |\theta_0|$, on a le résultat de localisation suivant : pour $j = 1, \dots, \ell$

$$z_j^h(\theta_0) - z_j^h = \mathcal{O} \left(|\theta_0| \frac{e^{-\frac{2s_0}{h}}}{h^3} \right)$$

Localisation par rapport aux résonances de référence

$$\theta_0 = ih^{N_0}$$



Comparaison : heuristique

- Décroissance exponentielle
- Perturbation de taille $|\theta_0|$ au niveau des conditions aux limites en a et b
- On en déduit la comparaison :

$$z_j^h(\theta_0) - z_j^h = \mathcal{O} \left(|\theta_0| \frac{e^{-\frac{2S_0}{h}}}{h^3} \right)$$



1 Introduction

- Cadre et objectifs
- Approximation adiabatique
- Evolution adiabatique des résonances
- Dilatation analytique extérieure

2 Théorème adiabatique : conditions d'interface

- Modèle et résonances de forme
- Perturbation H_{θ_0} : comparaison spectrale
- **Evolution en temps**
- Evolution adiabatique des résonances

3 Application à l'évolution d'un système résonnant

Evolution libre

- Cas $V = W^h = 0$

Proposition

Le semi-groupe associé à H_{θ_0} est uniformément borné en temps avec le développement

$$e^{-itH_{\theta_0}} = e^{-itH} + \mathcal{O}(|\theta_0|)$$

- Utilise l'opérateur W_{θ_0} de noyau

$$W_{\theta_0} = \int_{-\infty}^{+\infty} \psi(k, x) e^{-i\frac{k}{h}y} \frac{dk}{2\pi h},$$

où $\psi(k, x)$ fonction propre généralisée : $H_{\theta_0}\psi(k, x) = k^2\psi(k, x)$

Potentiel non trivial : calcul numérique

- Calcul de $e^{-itH_{\theta_0}}$ pour $V \neq 0$

Potentiel non trivial : calcul numérique

- Calcul de $e^{-itH_{\theta_0}}$ pour $V \neq 0$
- Résolution du problème :

$$\left\{ \begin{array}{l} i\partial_t u(t, x) = [-h^2 \partial_x^2 + V(x)] u(t, x), \quad t > 0, x \in \mathbb{R} \setminus \{-1, 1\} \\ e^{\frac{\theta_0}{2}} u(t, -1^+) = u(t, -1^-) \\ e^{\frac{3}{2}\theta_0} \partial_x u(t, -1^+) = \partial_x u(t, -1^-) \\ e^{-\frac{\theta_0}{2}} u(t, 1^+) = u(t, 1^-) \\ e^{-\frac{3}{2}\theta_0} \partial_x u(t, 1^+) = \partial_x u(t, 1^-) \\ u(0, x) = u_I(x) \end{array} \right.$$

Potentiel non trivial : calcul numérique

- Calcul de $e^{-itH_{\theta_0}}$ pour $V \neq 0$
- Résolution du problème :

$$\left\{ \begin{array}{l} i\partial_t u(t, x) = [-h^2 \partial_x^2 + V(x)] u(t, x), \quad t > 0, x \in \mathbb{R} \setminus \{-1, 1\} \\ e^{\frac{\theta_0}{2}} u(t, -1^+) = u(t, -1^-) \\ e^{\frac{3}{2}\theta_0} \partial_x u(t, -1^+) = \partial_x u(t, -1^-) \\ e^{-\frac{\theta_0}{2}} u(t, 1^+) = u(t, 1^-) \\ e^{-\frac{3}{2}\theta_0} \partial_x u(t, 1^+) = \partial_x u(t, 1^-) \\ u(0, x) = u_I(x) \end{array} \right.$$

- Schéma de Crank-Nicolson pour $x \in [-5, 5]$ avec conditions aux limites transparentes (TBC) en $x = -5$ et $x = 5$
[Arnold, Besse et al., '08]

Potentiel non trivial : calcul numérique

- Calcul de $e^{-itH_{\theta_0}}$ pour $V \neq 0$
- Résolution du problème :

$$\left\{ \begin{array}{l} i\partial_t u(t, x) = [-h^2 \partial_x^2 + V(x)] u(t, x), \quad t > 0, x \in \mathbb{R} \setminus \{-1, 1\} \\ e^{\frac{\theta_0}{2}} u(t, -1^+) = u(t, -1^-) \\ e^{\frac{3}{2}\theta_0} \partial_x u(t, -1^+) = \partial_x u(t, -1^-) \\ e^{-\frac{\theta_0}{2}} u(t, 1^+) = u(t, 1^-) \\ e^{-\frac{3}{2}\theta_0} \partial_x u(t, 1^+) = \partial_x u(t, 1^-) \\ u(0, x) = u_I(x) \end{array} \right.$$

- Schéma de Crank-Nicolson pour $x \in [-5, 5]$ avec conditions aux limites transparentes (TBC) en $x = -5$ et $x = 5$
[Arnold, Besse et al., '08]
- Intégrer les conditions d'interface dans le schéma en gardant la stabilité (comme TBC)

Laplacien discret modifié

- Interface en $x = 0 \rightarrow x_j = j\Delta x, j \in \mathbb{Z}$

Laplacien discret modifié

- Interface en $x = 0 \rightarrow x_j = j\Delta x, j \in \mathbb{Z}$
- Si $u_j \approx u(x_j)$ alors :

$$\Delta u_0 = \frac{u_{-1} - 2u_0 + u_1^-}{\Delta x^2} \quad \text{et} \quad \Delta u_1 = \frac{u_0^+ - 2u_1 + u_2}{\Delta x^2}$$

Laplacien discret modifié

- Interface en $x = 0 \rightarrow x_j = j\Delta x, j \in \mathbb{Z}$
- Si $u_j \approx u(x_j)$ alors :

$$\Delta u_0 = \frac{u_{-1} - 2u_0 + u_1^-}{\Delta x^2} \quad \text{et} \quad \Delta u_1 = \frac{u_0^+ - 2u_1 + u_2}{\Delta x^2}$$

- Conditions d'interface :

$$\begin{cases} e^{-\frac{\theta_0}{2}} u_0^+ = u_0 \\ e^{-\frac{3}{2}\theta_0} (u_1 - u_0^+) = u_1^- - u_0 \end{cases}$$

Laplacien discret modifié

- Interface en $x = 0 \rightarrow x_j = j\Delta x, j \in \mathbb{Z}$
- Si $u_j \approx u(x_j)$ alors :

$$\Delta u_0 = \frac{u_{-1} - 2u_0 + u_1^-}{\Delta x^2} \quad \text{et} \quad \Delta u_1 = \frac{u_0^+ - 2u_1 + u_2}{\Delta x^2}$$

- Conditions d'interface :

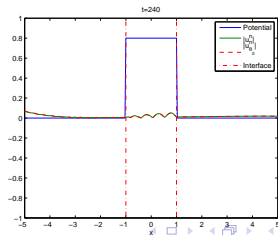
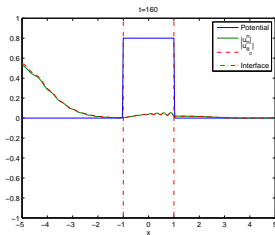
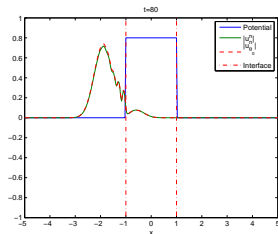
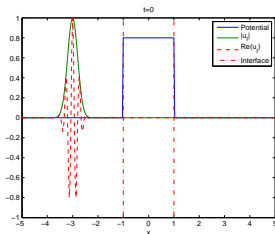
$$\begin{cases} e^{-\frac{\theta_0}{2}} u_0^+ = u_0 \\ e^{-\frac{3}{2}\theta_0} (u_1 - u_0^+) = u_1^- - u_0 \end{cases}$$

→ Laplacien modifié

$$\Delta_{\theta_0} u_j = \frac{1}{\Delta x^2} \begin{cases} u_{j-1} - (1 + e^{-\theta_0})u_j + e^{-\frac{3}{2}\theta_0} u_{j+1}, & \text{if } j = 0 \\ e^{\frac{\theta_0}{2}} u_{j-1} - 2u_j + u_{j+1}, & \text{if } j = 1 \\ u_{j-1} - 2u_j + u_{j+1}, & \text{sinon} \end{cases}$$

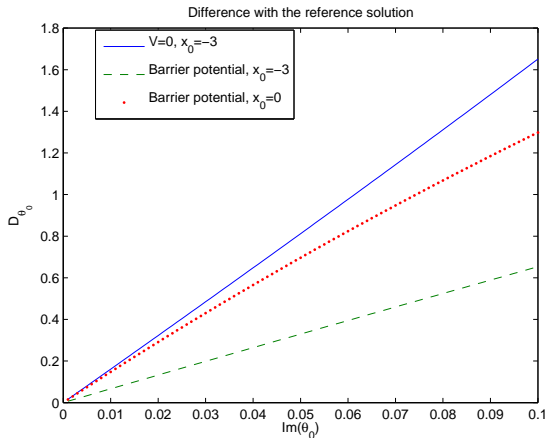
Résultats

Représentation de $u_{\theta_0}(t) = e^{-itH_{\theta_0}} u_I$ et $u(t) = e^{-itH} u_I$ pour $\theta_0 = i\text{Im}(\theta_0)$ et $\text{Im}(\theta_0) = 0.09$



Résultats

Représentation de $D_{\theta_0} = \sup_{t \in [0, T]} 100 \frac{\|u_{\theta_0}(t) - u(t)\|}{\|u_I\|}$
(x_0 centre du paquet d'onde initial)



1 Introduction

- Cadre et objectifs
- Approximation adiabatique
- Evolution adiabatique des résonances
- Dilatation analytique extérieure

2 Théorème adiabatique : conditions d'interface

- Modèle et résonances de forme
- Perturbation H_{θ_0} : comparaison spectrale
- Evolution en temps
- Evolution adiabatique des résonances

3 Application à l'évolution d'un système résonnant

Evolution adiabatiques des résonances

- Potentiel dépendant du temps

$$V(t) - W^h(t) = V(t) - W_1^h(t) - W_2^h(t) \text{ avec}$$

$$W_1^h(t, x) = \sum_{j=1}^J w_j \left(t, \frac{x - x_j}{h} \right) \quad \text{et} \quad W_2^h(t) = \sum_{j=1}^J \alpha_j(t) h \delta(x - x_j)$$

régulier en temps t.q.

$$H_{\theta_0}(t) = -h^2 \partial_x^2 + V(x) - (W_1^h(t, x) + W_2^h(t, x)) \quad + \text{Cond. d'interface}$$

a ℓ résonances $z_1(t), \dots, z_\ell(t)$ vérifiant la "Gap condition"

Evolution adiabatiques des résonances

- Potentiel dépendant du temps

$$V(t) - W^h(t) = V(t) - W_1^h(t) - W_2^h(t) \text{ avec}$$

$$W_1^h(t, x) = \sum_{j=1}^J w_j \left(t, \frac{x - x_j}{h} \right) \quad \text{et} \quad W_2^h(t) = \sum_{j=1}^J \alpha_j(t) h \delta(x - x_j)$$

régulier en temps t.q.

$$H_{\theta_0}(t) = -h^2 \partial_x^2 + V(x) - (W_1^h(t, x) + W_2^h(t, x)) \quad + \text{Cond. d'interface}$$

a ℓ résonances $z_1(t), \dots, z_\ell(t)$ vérifiant la "Gap condition"

- Soient :

- $\theta_0 = ih^{N_0}$, $N_0 > 1$

Evolution adiabatiques des résonances

- Potentiel dépendant du temps

$$V(t) - W^h(t) = V(t) - W_1^h(t) - W_2^h(t) \text{ avec}$$

$$W_1^h(t, x) = \sum_{j=1}^J w_j \left(t, \frac{x - x_j}{h} \right) \quad \text{et} \quad W_2^h(t) = \sum_{j=1}^J \alpha_j(t) h \delta(x - x_j)$$

régulier en temps t.q.

$$H_{\theta_0}(t) = -h^2 \partial_x^2 + V(x) - (W_1^h(t, x) + W_2^h(t, x)) \quad + \text{Cond. d'interface}$$

a ℓ résonances $z_1(t), \dots, z_\ell(t)$ vérifiant la "Gap condition"

- Soient :

- $\theta_0 = ih^{N_0}$, $N_0 > 1$
- $\varepsilon = e^{-\frac{\tau}{h}}$, $\tau > 0$

Evolution adiabatiques des résonances

- Potentiel dépendant du temps

$$V(t) - W^h(t) = V(t) - W_1^h(t) - W_2^h(t) \text{ avec}$$

$$W_1^h(t, x) = \sum_{j=1}^J w_j \left(t, \frac{x - x_j}{h} \right) \quad \text{et} \quad W_2^h(t) = \sum_{j=1}^J \alpha_j(t) h \delta(x - x_j)$$

régulier en temps t.q.

$$H_{\theta_0}(t) = -h^2 \partial_x^2 + V(x) - (W_1^h(t, x) + W_2^h(t, x)) \quad + \text{Cond. d'interface}$$

a ℓ résonances $z_1(t), \dots, z_\ell(t)$ vérifiant la "Gap condition"

- Soient :

- $\theta_0 = ih^{N_0}$, $N_0 > 1$

- $\varepsilon = e^{-\frac{\tau}{h}}$, $\tau > 0$

alors le théorème adiabatique (TA) est vérifié pour l'opérateur

$$\mathcal{H}(t) = H_{\theta_0}(\theta_0)(t)$$

et les v.p. $z_1(t), \dots, z_\ell(t)$ (Erreur $\varepsilon^{1-\delta}$, $0 < \delta \leq 1$)

1 Introduction

- Cadre et objectifs
- Approximation adiabatique
- Evolution adiabatique des résonances
- Dilatation analytique extérieure

2 Théorème adiabatique : conditions d'interface

- Modèle et résonances de forme
- Perturbation H_{θ_0} : comparaison spectrale
- Evolution en temps
- Evolution adiabatique des résonances

3 Application à l'évolution d'un système résonnant

Diode à effet tunnel résonnant

- Hamiltonien non linéaire :

$$H = -\hbar^2 \partial_x^2 + V - W^h + V_{NL}$$

où V_{NL} potentiel de Poisson

- Résonance de plus basse énergie

$$z_0 = E_0 + \mathcal{O}\left(e^{-\frac{2S_0}{\hbar}}\right)$$

- Paramètre adiabatique

$$\varepsilon = e^{-\frac{2S_0}{\hbar}}$$

Diode à effet tunnel résonnant

- Hamiltonien non linéaire :

$$H = -\hbar^2 \partial_x^2 + V - W^h + V_{NL}$$

- Infinité de Schrödinger :

$$\begin{cases} i\epsilon \partial_t \Psi_k(t) = H(t) \Psi_k(t) \\ \Psi_k(0) = \Phi_k \end{cases} \quad \text{où } \Phi_k \text{ loc. autour de } k^2$$

Diode à effet tunnel résonnant

- Hamiltonien non linéaire :

$$H = -\hbar^2 \partial_x^2 + V - W^h + V_{NL}$$

- Infinité de Schrödinger :

$$\begin{cases} i\epsilon \partial_t \Psi_k(t) = H(t) \Psi_k(t) \\ \Psi_k(0) = \Phi_k \end{cases} \quad \text{où } \Phi_k \text{ loc. autour de } k^2$$

Densité de charge (Landauer-Büttiker)

$$n(t, x) = \int_{\mathbb{R}_+} g(k^2) |\Psi_k(t, x)|^2 \frac{dk}{2\pi\hbar}$$

Diode à effet tunnel résonnant

- Hamiltonien non linéaire :

$$H = -\hbar^2 \partial_x^2 + V - W^h + V_{NL}$$

- Infinité de Schrödinger :

$$\begin{cases} i\epsilon \partial_t \Psi_k(t) = H(t) \Psi_k(t) \\ \Psi_k(0) = \Phi_k \end{cases} \quad \text{où } \Phi_k \text{ loc. autour de } k^2$$

Potentiel de Poisson

$$\begin{cases} -\partial_x^2 V_{NL}(t, x) = \gamma n(t, x), & x \in (a, b), t > 0 \\ V_{NL}(t, a) = V_{NL}(t, b) = 0, & t > 0 \end{cases}$$

Densité de charge (Landauer-Büttiker)

$$n(t, x) = \int_{\mathbb{R}_+} g(k^2) |\Psi_k(t, x)|^2 \frac{dk}{2\pi\hbar}$$

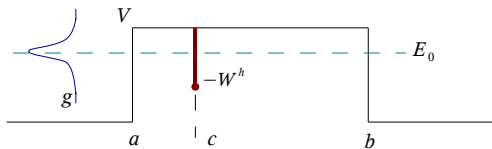
Evolution de la charge

- Charge dans le puits

$$\begin{aligned} A(t) &= \int_{\mathbb{R}} \chi(x) n(t, x) dx \\ &= \frac{1}{2\pi\hbar} \int_{\mathbb{R}_+ \times \mathbb{R}} g(k^2) \chi(x) |\Psi_k(t, x)|^2 dk dx \end{aligned}$$

où

- χ supportée autour de c t.q. $\chi(c) = 1$
- g supportée autour de E_0



Approximation adiabatique

Objectifs :

- Répartition g supportée autour de E_0 donc [TA] donne

$$A(t) = \int_{\mathbb{R}_+} g(k^2) |\beta(t, k)|^2 \frac{dk}{2\pi h} (\chi G_0(t), G_0(t))_{L^2} + \mathcal{O}(\varepsilon^\delta),$$

où $\delta \in (0, 1)$ et $G_0(t)$ mode résonnant $H(t)G_0(t) = z_0(t)G_0(t)$

Approximation adiabatique

Objectifs :

- Répartition g supportée autour de E_0 donc [TA] donne

$$A(t) = \int_{\mathbb{R}_+} g(k^2) |\beta(t, k)|^2 \frac{dk}{2\pi h} (\chi G_0(t), G_0(t))_{L^2} + \mathcal{O}(\varepsilon^\delta),$$

où $\delta \in (0, 1)$ et $G_0(t)$ mode résonnant $H(t)G_0(t) = z_0(t)G_0(t)$

→ Equation différentielle

$$\frac{d}{dt} A(t) = -2 \frac{\Gamma_0(t)}{\varepsilon} A(t) + g(E_0(t)) \Lambda(E_0(t))$$

où $z_0(t) = E_0(t) - i\Gamma_0(t)$ et $\Lambda(E)$ t.q. $\|\Lambda\|_{L^\infty(\text{supp } g)} = \mathcal{O}(1)$
 (Rejoint [Presilla, Sjöstrand, '96])

Modèle réduit pour les RTD

- Potentiel $W^h =$ puits quantique
- approximation $n(t, x) \approx A(t)\delta_c(x)$
- Modèle réduit

Modèle réduit pour les RTD

- Potentiel $W^h =$ puits quantique
- approximation $n(t, x) \approx A(t)\delta_c(x)$
- Modèle réduit

Equation de Poisson

$$\begin{cases} -\partial_x^2 V_{NL}(t, x) = A(t)\delta_c(x), & x \in (a, b), t > 0 \\ V_{NL}(t, a) = V_{NL}(t, b) = 0, & t > 0 \end{cases}$$

Modèle réduit pour les RTD

- Potentiel $W^h =$ puits quantique
- approximation $n(t, x) \approx A(t)\delta_c(x)$
- Modèle réduit
- Evolution de la charge

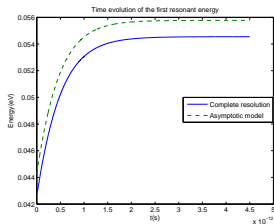
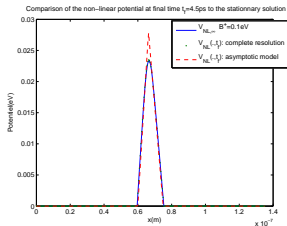
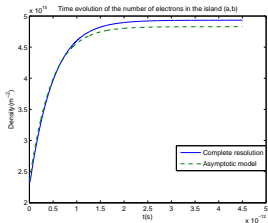
$$\frac{d}{dt}A(t) = -2\frac{\Gamma_0(t)}{\varepsilon}A(t) + 2\frac{\Gamma_0(t)}{\varepsilon}g(E_0(t))$$

Equation de Poisson

$$\begin{cases} -\partial_x^2 V_{NL}(t, x) = A(t)\delta_c(x), & x \in (a, b), t > 0 \\ V_{NL}(t, a) = V_{NL}(t, b) = 0, & t > 0 \end{cases}$$

Résultats

- Cas d'un shift de potentiel brutal appliqué



- Terminer l'asymptotique dans le cas linéaire avec un potentiel δ_c
- Justification de l'utilisation du modèle réduit
 - pour des potentiels plus généraux
 - dans le cadre non linéaire